

## PLANEJAMENTO DE CAMINHOS

### MÉTODOS BASEADOS EM DECOMPOSIÇÃO EM CÉLULAS – DECOMPOSIÇÃO EXATA

#### Princípio:

- Decomposição de  $C_L$  em regiões não superpostas cuja união é exatamente  $C_L$ .
- Construção de um grafo de conectividade  $G$  que representa as relações de adjacência entre as células.
- Busca de um Canal (seqüência de células adjacentes ligando a célula contendo  $q_{ini}$  à célula contendo  $q_{fin}$ ) em  $G$
- Extração de um caminho entre  $q_{ini}$  e  $q_{fin}$  a partir do canal.

#### Características desejáveis da Decomposição:

- Geometria de célula simples, que permita computar caminhos com facilidade.
- Deve ser fácil testar a adjacência entre células.
- Deve ser fácil achar caminhos através dos limites entre células.

#### Observações:

- Células são regiões não críticas, mudanças dentro delas ocorrem de forma contínua.
- Limites entre células correspondem a condições críticas, mudanças bruscas ocorrem ao atravessar um limite.
- Um Canal é menos restritivo do que um caminho. Permite mais flexibilidade no planejamento.

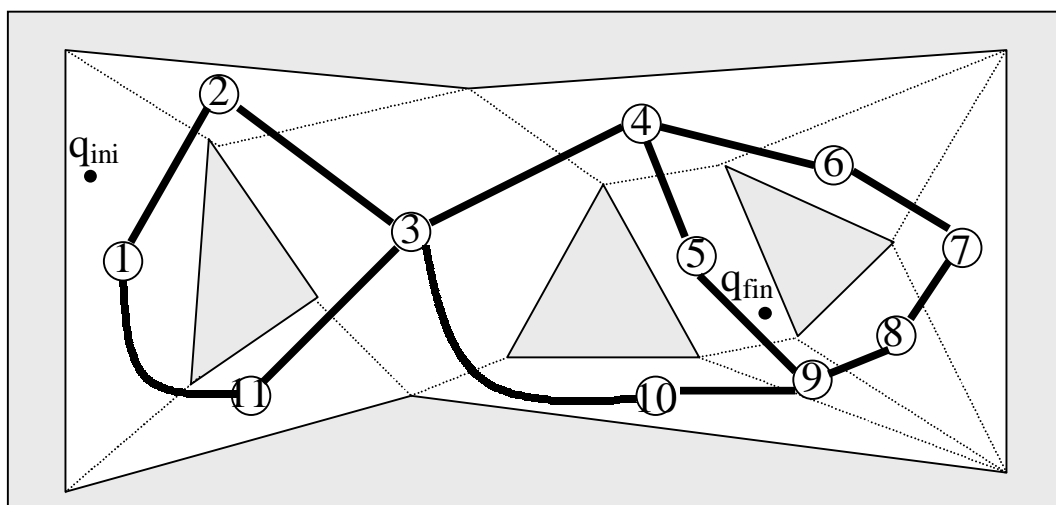
## Decomposição Exata em Espaço de Configuração Poligonal:

- $C = \text{de } J^2$ .  $C_B = \text{Região Poligonal}$ .  $C_L = C \setminus C_B$  limitado.
- Decomposição Poligonal Convexa,  $K$ , de  $C_L$  = coleção finita de polígonos convexos (Células), tal que:
  - Dadas duas células quaisquer,  $k$  e  $k'$  da decomposição  $K$ ,  $\text{int}(k) \cap \text{int}(k') = \emptyset$ .
  - A união de todas as células é exatamente  $\text{cl}(C_L)$ .

- $\Rightarrow$  Duas células  $k$  e  $k'$  em  $K$  são adjacentes se e somente se  $k \cap k'$  é um segmento de reta de comprimento não nulo.
- $\Rightarrow$  Sempre existe um caminho livre entre duas configurações dentro de uma mesma célula, o qual é um segmento de reta.

Grafo de Conectividade,  $G$ , associado a uma decomposição  $K$  de  $C_L$ , é um grafo não direcionado, tal que:

- Seus nós são as células da decomposição  $K$ .
- Dois nós em  $G$  são conexos por um arco se e somente se as células correspondentes são adjacentes.

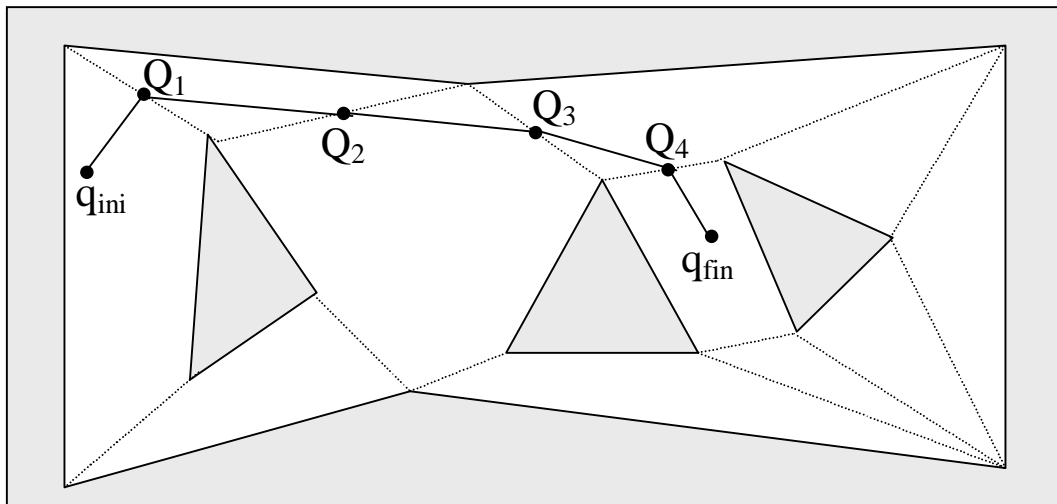


### Algoritmo de planejamento:

1. Gerar uma decomposição poligonal  $K$  de  $C_L$ .
  2. Construir o grafo de conectividade  $G$  associado a  $K$ .
  3. Buscar, em  $G$ , uma seqüência de células adjacentes entre  $k_{ini}$  (célula que contém  $q_{ini}$ ) e  $k_{fin}$  (célula que contém  $q_{fin}$ ).
  4. Se sucesso, retornar a seqüência gerada, se não, reportar falha.
- Canal: seqüência de células adjacentes  $k_1, \dots, k_p$ , tais que  $q_{ini} \in k_1$ ,  $q_{fin} \in k_p$  e  $\forall i \in [1, p-1]$ ,  $k_i$  e  $k_{i+1}$  são adjacentes, com  $\text{int}(\cup k_i) \subset C_L$ .

### Método simples para obter um caminho dentro de um canal:

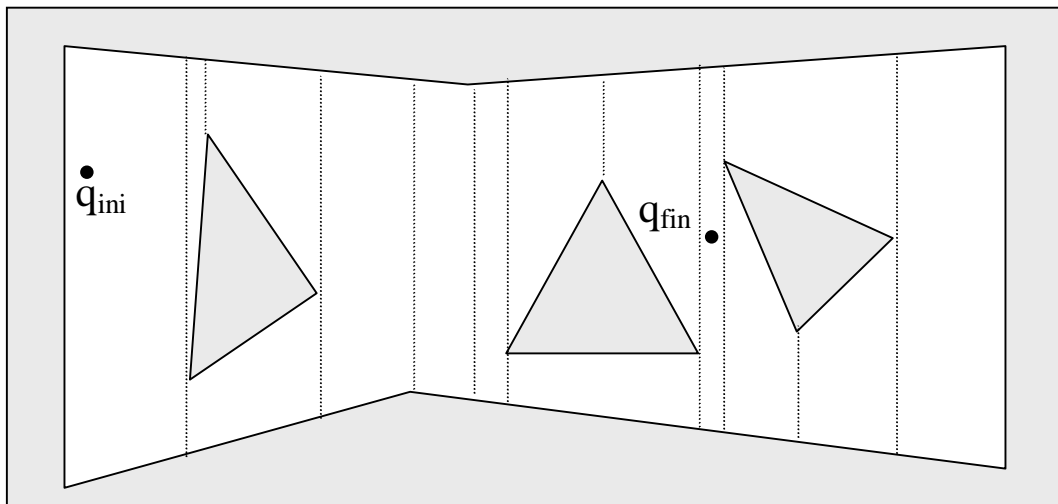
- Dados os limites  $\beta_i = \partial k_i \cap \partial k_{i+1}$ , entre duas células adjacentes  $k_i$  e  $k_{i+1}$ , determinar os pontos médios  $Q_i$  de  $\beta_i$ .
- ligar  $q_{ini}$  a  $q_{fin}$  através da linha poligonal por  $Q_1, Q_2, \dots, Q_{p-1}$ .
- Caso  $\beta_i$  e  $\beta_{i+1}$  estejam contidos na mesma reta suporte, criar um ponto intermediário  $Q_{i,i+1}$ .



Observação: a decomposição convexa ótima de um polígono é computável em tempo polinomial no número de vértices. A presença de buracos no polígono torna o problema NP completo.

### Decomposição Trapezoidal (não ótima):

- Varrer  $C_L$  com uma linha reta vertical.
- Quando um vértice  $X$  de  $CB$  é encontrado, um máximo de dois segmentos de reta verticais, contidos em  $C_L$ , são criados de modo a conectar  $X$  aos eixos de  $CB$  imediatamente acima e abaixo do mesmo.
- Os limites de  $CB$  e os segmentos verticais determinam a Decomposição Trapezoidal de  $C_L$ .  $\Rightarrow$  Cada célula é um trapezóide ou um triângulo.
- Duas células são adjacentes se e somente se seus limites partilham um dos segmentos verticais gerados na varredura.



### Observações:

- Quando um segmento vertical é atravessado, a restrição correspondente imposta por  $CB$  muda descontinuamente.
- Se  $C_L$  é não limitado, a decomposição incluirá células que se estendem infinitamente, para cima e/ou para baixo.
- Durante a varredura, é possível computar de modo concorrente (com  $O(n \cdot \log(n))$ ,  $n$  = número de vértices de  $CB$ ) a criação dos segmentos verticais, a geração do grafo de conectividade, bem como a identificação das células que contém  $q_{ini}$  e  $q_{fin}$ .

## Busca do Caminho no Grafo de Conectividade:

- Busca baseada no Algoritmo  $A^*$  produz o menor caminho, (em métrica euclidiana), entre  $q_{ini}$  e  $q_{fin}$  dentro do grafo de conectividade.
- Para uso do algoritmo  $A^*$ , um grafo de conectividade alternativo,  $G'$ , pode ser especificado:
  - Os nós de  $G'$  são  $q_{ini}$ ,  $q_{fin}$ , e os pontos centrais  $Q_i$ 's dos limites compartilhados por células adjacentes.
  - Dois nós em  $G'$  são conexos por um arco se e somente se eles pertencem à mesma célula (ou seja, podem ser ligados por um segmento de reta inteiramente contido em  $C_L$ ).
- Cada arco de  $G'$  é ponderado pela distância euclidiana entre os nós que ele conecta.
- A distância euclidiana a  $q_{ini}$  pode ser adotada como função heurística na busca.

### Observações:

- Os caminhos gerados são significativamente melhores do que aqueles gerados através do grafo de visibilidade: evitam melhor os obstáculos, sem se afastar muito deles.
- O método pode ser estendido para  $C = J^3$ , com obstáculos poliédricos, varrendo o espaço com um plano de modo a criar células paralelepípedas. Duas células são adjacentes se e somente se partilham, em uma face, um trapezóide de área não nula. O algoritmo  $A^*$  pode ser aplicado ao grafo  $G'$  definido acima, com cada ponto  $Q_i$  escolhido no interior do trapezóide resultante da interseção dos limites de duas células adjacentes.

## Decomposição Exata - Translação e Rotação no Plano:

- $W = J^2$ , povoado de obstáculos poligonais (cuja união é  $B$ ).
- $A$  = segmento de reta PQ de comprimento  $d$ .
- $C = J^2 \times S^1$ .
- Configuração  $q = (x, y, \theta)$ , com  $(x, y)$  = posição de P e  $\theta$  = ângulo de orientação entre o vetor PQ e o eixo x de  $F_W$ .

Princípio: decompor o conjunto de posições de  $A$  em regiões não críticas bidimensionais, definir células tridimensionais “elevando” estas regiões ao longo do eixo  $\theta$  e extrair delas um *Grafo de Conectividade* que represente as relações de adjacência entre as mesmas.

- Os  $C$ -obstáculos mantêm estrutura constante dentro da projeção tridimensional de uma região não crítica.
- As células contidas em tais projeções tridimensionais (prismas) tornam explícita esta estrutura.
- Os limites das regiões não críticas são as curvas críticas.

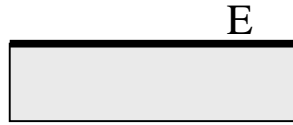
### Curvas Críticas e Regiões Não Críticas:

- Uma face de CB do tipo A corresponde a configurações em que o segmento PQ contém um vértice de CB.
- Uma face de CB do tipo B corresponde a configurações em que um eixo de CB contém o ponto P ou o ponto Q.
- Curvas críticas são projeções no plano xy das seguintes curvas:
  - os limites das faces de CB;
  - as curvas nas faces de CB onde o plano tangente a CB é perpendicular ao plano xy.

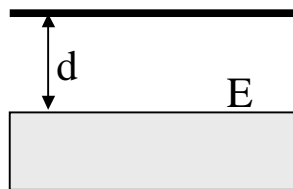
$\Rightarrow$  Quando uma curva crítica é atravessada, muda o conjunto de faces de CB que são intersectadas por uma linha perpendicular ao plano xy, ou muda o número de pontos de interseção.

Tipos de curvas críticas:

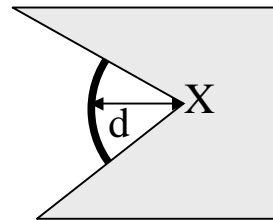
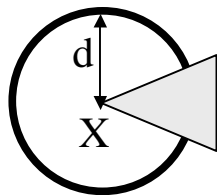
- **Tipo 0:** eixo E de um obstáculo B.



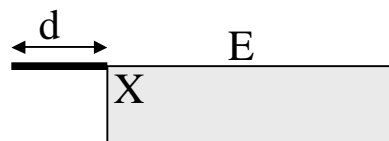
- **Tipo 1:** segmento de reta a uma distância  $d$  de um eixo E de um obstáculo B. (Possui o mesmo comprimento de E).



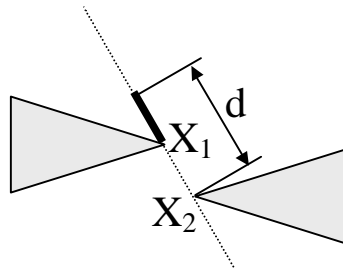
- **Tipo 2:** arco de circunferência de raio  $d$ , centrado no vértice X de um obstáculo B e limitado pelas semi-retas que contêm os eixos de B que têm X por extremidade.



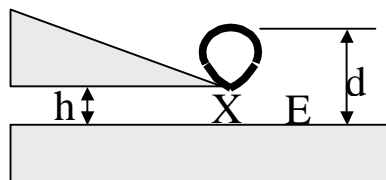
- **Tipo 3:** segmento de reta traçado por P quando A desliza contido na reta suporte de um eixo E limitado por um vértice convexo X, de tal modo que Q permanece contido em E.



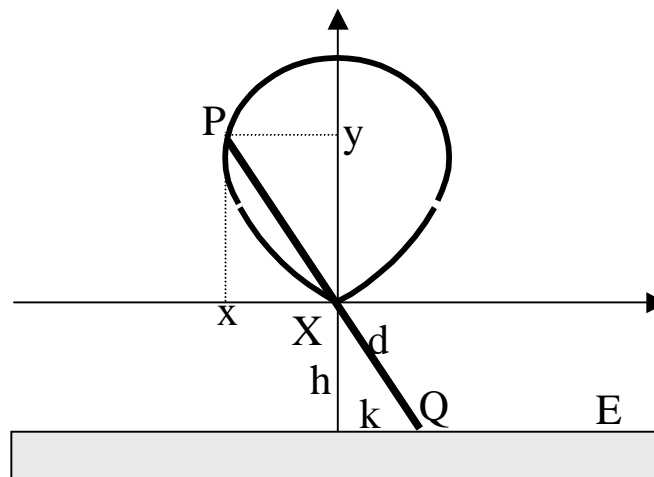
- **Tipo 4:** segmento de reta traçado por P, enquanto **A** mantém contato simultâneo com dois vértices convexos,  $X_1$  e  $X_2$ .



- **Tipo 5:** curva traçada por P enquanto **A** mantém contato simultâneo com um eixo E e um vértice convexo X situado a uma distância  $h < d$  de E, de tal modo que **A** é tangente a B em X e Q permanece contido em E.



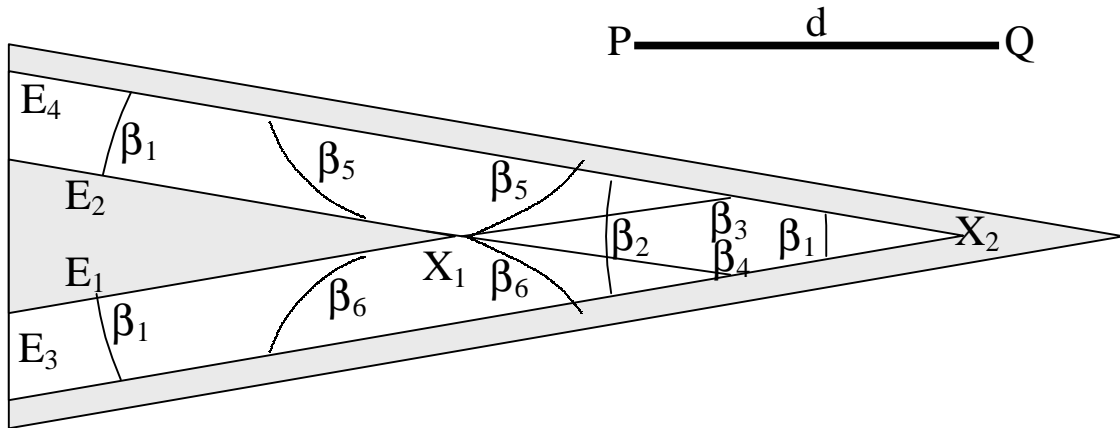
- Esta curva é um subconjunto de um tipo de curva algébrica de 4º grau denominada Conchóide de Nicomedes.



Da figura acima:  $d^2 = (y+h)^2 + (x+k)^2$   
 $y/x = h/k$

$$\Rightarrow x^2 = y^2 \cdot (d^2 / (y+h)^2 - 1)$$

Exemplo de decomposição:

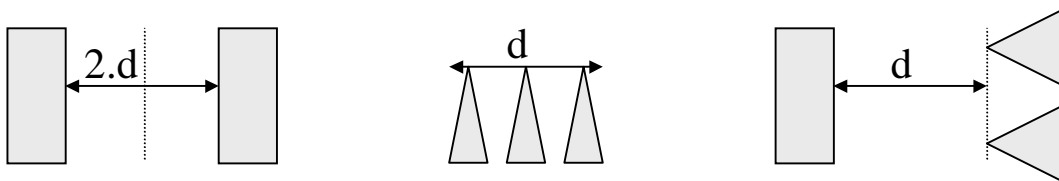


- $E_1, E_2, E_3$  e  $E_4$ : curvas críticas do tipo 0.
- $\beta_1$  e  $\beta_2$ : curvas críticas do tipo 2.
- $\beta_3$  e  $\beta_4$ : curvas críticas do tipo 3.
- $\beta_5$  e  $\beta_6$ : curvas críticas do tipo 5.

Observações:

- As curvas só levam em conta o contato com vértices e/ou eixos, independente do resto da região de obstáculos, portanto são um superconjunto do conjunto de curvas críticas. Algumas delas podem ser geradas por configurações de  $\mathbf{A}$  que intersectam o interior de  $\mathbf{B}$  (em outra componente convexa). Tais curvas são ditas Redundantes e podem ser removidas.
- O conjunto de curvas críticas é finito. Cada extremidade de uma curva crítica está localizada em outra curva crítica ou no infinito. Curvas críticas são curvas algébricas suaves, de 1<sup>o</sup>, 2<sup>o</sup> ou 4<sup>o</sup> grau, portanto possuem um número finito de interseções.
- Exceção: curvas coincidentes. Cada coincidência pode ser eliminada com deslocamentos arbitrariamente pequenos em  $\mathbf{B}$ .

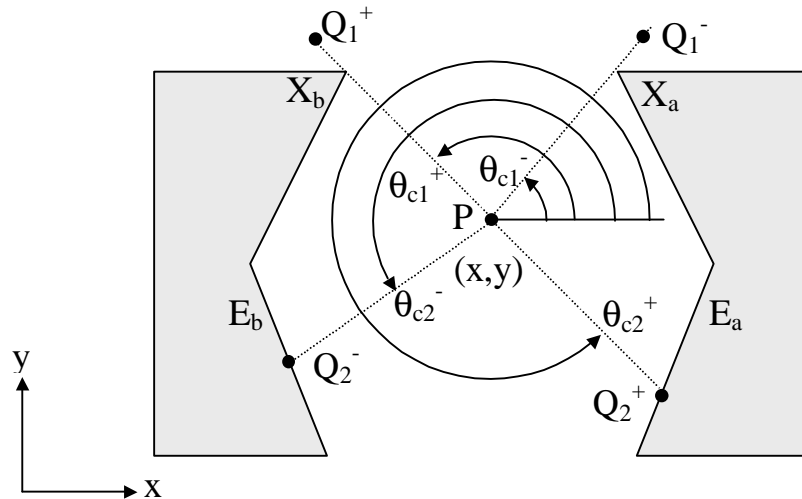
Exemplos de coincidências:



## Decomposição do Espaço Livre:

- $F(x,y) = \{\theta / (x, y, \theta) \in C_L\}$  = conjunto de todas as orientações livres de **A** na posição não crítica  $(x, y)$ .  $F(x,y)$  é a união de um número finito de intervalos conexos máximos abertos.
- Cada extremo de um intervalo conexo é chamado de Orientação Limite,  $\theta_c$ , a qual pode ser Horária,  $\theta_c^-$ , ou Anti-horária,  $\theta_c^+$ .  $\{\forall \theta \in (\theta_c^-, \theta_c^+) \subseteq F(x,y) \Rightarrow \theta_c^- \leq \theta \leq \theta_c^+\}$ .
- O vértice ou eixo da região de obstáculos **B** que é tocado por  $A(x,y,\theta_c^-)$ , (respectivamente  $A(x,y,\theta_c^+)$ ), é denominado Parada Horária,  $S^-(x,y,\theta_c^-)$ , (resp. Parada Anti-horária,  $S^+(x,y,\theta_c^+)$ ).
- O par  $S^\pm(x,y,\theta_c^-, \theta_c^+) = [S^-(x,y,\theta_c^-), S^+(x,y,\theta_c^+)]$  é único, visto que a posição  $(x, y)$  é não crítica; caso contrário, seria crítica.
- $\sigma(x,y)$  é o conjunto de todos os pares de paradas  $S^\pm(x,y,\theta_c^-, \theta_c^+)$ , tais que  $S^-(x,y,\theta_c^-)$ , (respectivamente  $S^+(x,y,\theta_c^+)$ ), é uma parada horária, (respectivamente anti-horária), em  $(x,y)$  e o intervalo  $(\theta_c^-, \theta_c^+) \subseteq F(x,y)$ . Se  $F(x,y) = [0, 2\pi) \Rightarrow \sigma(x,y) = \{[\Omega, \Omega]\}$ , onde  $\Omega$  designa uma parada não existente. Por convenção, atribui-se  $\theta_c^-(x,y,\Omega) = 0$  e  $\theta_c^+(x,y,\Omega) = 2\pi$ .

Exemplo:



$$S_1^\pm(x,y,\theta_{c1}^-, \theta_{c1}^+) = [S_1^-(x,y,\theta_{c1}^-), S_1^+(x,y,\theta_{c1}^+)] = [X_a, X_b]$$

$$S_2^\pm(x,y,\theta_{c2}^-, \theta_{c2}^+) = [S_2^-(x,y,\theta_{c2}^-), S_2^+(x,y,\theta_{c2}^+)] = [E_b, E_a]$$

$$\sigma(x,y) = \{ S_1^\pm, S_2^\pm \} = \{ [X_a, X_b], [E_b, E_a] \}$$

- Região Não Crítica,  $R$ , é um subconjunto conexo aberto do plano  $xy$ , delimitado por curvas críticas, tal que,

$$R = \{(x,y) \in \mathbb{J}^2 / \forall (x,y), (x',y') \in R : \sigma(x,y) = \sigma(x',y') = \sigma(R)\}$$

- Denomina-se Célula ao subconjunto conexo aberto de  $C_L$ :

$$cel(R, S^\pm) = \{(x,y,\theta) / (x,y) \in R \text{ e } \theta \in (\theta_c^-(x,y,S^-), \theta_c^+(x,y,S^+))\}$$

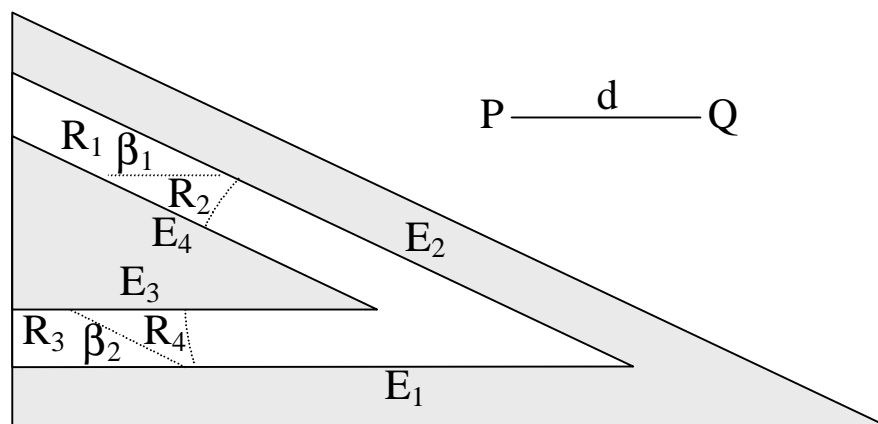
- Para toda célula  $k = cel(R, S^-, S^+)$  e toda posição  $(x,y)$  em  $R$ :

$$(x,y,\theta) \in k \Leftrightarrow \theta \in \theta_c^\pm(x,y,S^\pm) = (\theta_c^-(x,y,S^-), \theta_c^+(x,y,S^+))$$

onde,  $\theta_c^-(x,y,S^-)$  e  $\theta_c^+(x,y,S^+)$  são funções contínuas  $R \rightarrow \mathbb{J}$ .

- O conjunto de todas as células deste tipo forma uma decomposição de  $C_L$ , tal que as células são disjuntas e a clausura da sua união é igual a  $cl(C_L)$ .
- As células pertencem a prismas que projetam-se em regiões não críticas do plano  $xy$ .
- Se duas regiões não críticas,  $R$  e  $R'$ , compartilham uma seção  $\beta$  de curva crítica, tal que  $\sigma(R) = \sigma(R')$ , então  $\beta$  é redundante.

Exemplo:



$$\Rightarrow \sigma(R_1) = \sigma(R_2) = \{[E_2, E_4], [E_4, E_2]\}, \sigma(R_3) = \sigma(R_4) = \{[E_1, E_3], [E_3, E_1]\}$$

## Grafo de Conectividade:

Duas células  $k = \text{cel}(\mathbf{R}, \mathbf{S}^\pm)$  e  $k' = \text{cel}(\mathbf{R}', \mathbf{S}'^\pm)$  são adjacentes  $\Leftrightarrow$

- a) os limites  $\partial\mathbf{R}$  e  $\partial\mathbf{R}'$  compartilham uma seção  $\beta$  de curva crítica;
- b)  $\forall (x,y) \in \text{int}(\beta) : \theta_c^\pm(x,y,\mathbf{S}^\pm) \cap \theta_c'^\pm(x,y,\mathbf{S}'^\pm) \neq \emptyset$ .

- Se  $k$  e  $k'$  são adjacentes, qualquer configuração em  $k$  pode ser conectada a qualquer configuração em  $k'$  por um caminho livre cuja projeção no plano  $xy$  atravessa  $\beta$  transversalmente, com orientação constante na vizinhança do ponto de cruzamento.
- Se  $\beta$  é uma seção de curva crítica não redundante e não está contida em duas curvas críticas coincidentes, sempre que  $\text{int}(\beta)$  é atravessado transversalmente:

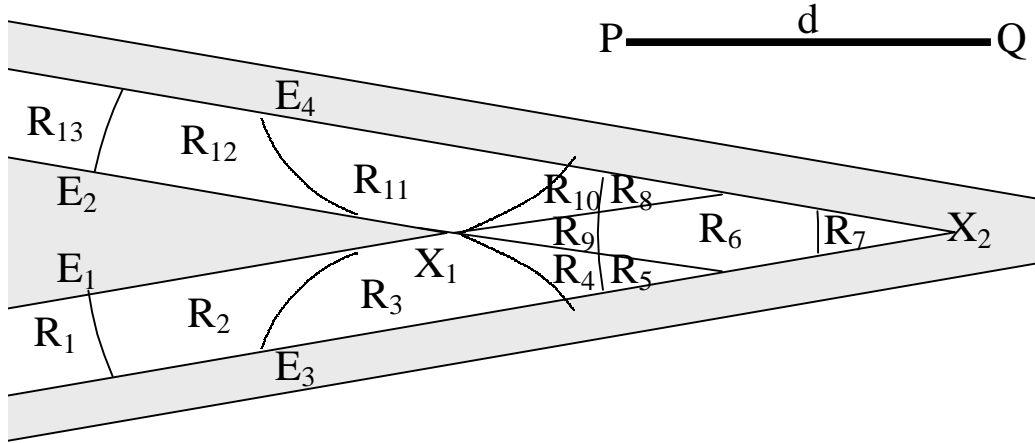
- a) um par em  $\sigma(x,y)$  aparece ou desaparece.
- b) um elemento em um par de  $\sigma(x,y)$  muda.

$\Rightarrow$  Regra de cruzamento: conectar  $\text{cel}(\mathbf{R}, \mathbf{S}^\pm)$  a  $\text{cel}(\mathbf{R}', \mathbf{S}'^\pm)$  para cada  $\mathbf{S}^\pm \in \sigma(\mathbf{R}) \cap \sigma(\mathbf{R}')$  e conectar cada célula  $\text{cel}(\mathbf{R}, \mathbf{S}^\pm)$ , com  $\mathbf{S}^\pm \in \sigma(\mathbf{R}) \setminus \sigma(\mathbf{R}')$ , (se existir alguma), a cada célula  $\text{cel}(\mathbf{R}', \mathbf{S}'^\pm)$ , com  $\mathbf{S}'^\pm \in \sigma(\mathbf{R}') \setminus \sigma(\mathbf{R})$ , (se existir alguma).

- Grafo de Conectividade,  $G$ , é o grafo não direcional cujos nós são todas as células  $\text{cel}(\mathbf{R}, \mathbf{S}^\pm)$ , onde  $\mathbf{R}$  é uma região não crítica e  $\mathbf{S}^\pm \in \sigma(\mathbf{R})$ . Os nós de  $G$  são conexos por um arco se e somente se as células correspondentes forem adjacentes.

$\Rightarrow$  Dadas duas configurações em  $C_L$ ,  $q_{\text{ini}} = (x_{\text{ini}}, y_{\text{ini}}, \theta_{\text{ini}})$  e  $q_{\text{fin}} = (x_{\text{fin}}, y_{\text{fin}}, \theta_{\text{fin}})$ , tais que nem  $(x_{\text{ini}}, y_{\text{ini}})$  nem  $(x_{\text{fin}}, y_{\text{fin}})$  estão numa curva crítica, existe um caminho entre ambas se e somente se as células que as contêm são conexas por um caminho no grafo de conectividade  $G$ .

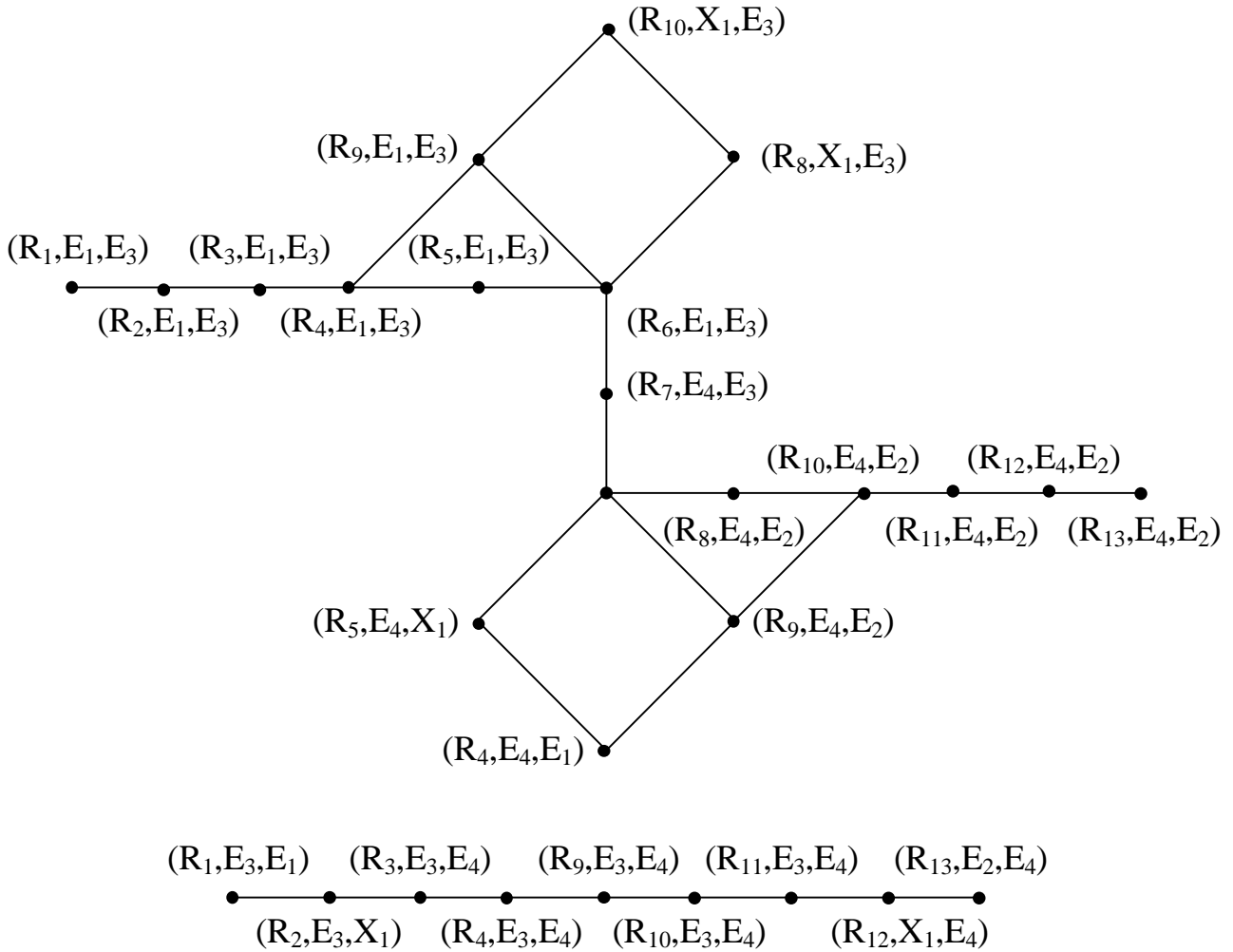
Exemplo:



$$\begin{aligned} \sigma(R_1) &= \{[E_1, E_3], [E_3, E_1]\} \\ \sigma(R_2) &= \{[E_1, E_3], [E_3, X_1]\} \\ \sigma(R_3) &= \{[E_1, E_3], [E_3, E_4]\} \\ \sigma(R_4) &= \{[E_1, E_3], [E_3, E_4], [E_4, X_1]\} \\ \sigma(R_5) &= \{[E_1, E_3], [E_4, X_1]\} \\ \sigma(R_6) &= \{[E_1, E_3], [E_4, E_2]\} \\ \sigma(R_7) &= \{[E_4, E_3]\} \\ \sigma(R_8) &= \{[E_4, E_2], [X_1, E_3]\} \\ \sigma(R_9) &= \{[E_4, E_2], [E_1, E_3], [E_3, E_4]\} \\ \sigma(R_{10}) &= \{[E_4, E_2], [X_1, E_3], [E_3, E_4]\} \\ \sigma(R_{11}) &= \{[E_4, E_2], [E_3, E_4]\} \\ \sigma(R_{12}) &= \{[E_4, E_2], [X_1, E_4]\} \\ \sigma(R_{13}) &= \{[E_4, E_2], [E_2, E_4]\} \end{aligned}$$

- Observação: o robô pode percorrer os dois corredores, mas não pode executar uma rotação completa dentro dos mesmos. Assim, a orientação com que o robô entra num corredor determina a orientação com a qual sairá no outro corredor.

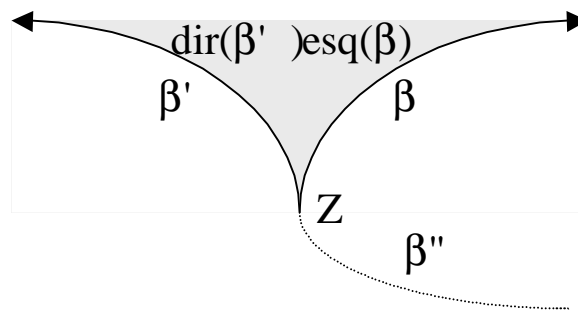
Grafo de conectividade resultante:



- Observação: o grafo de conectividade possui duas componentes conexas, que correspondem a dois subconjuntos conexas que compõem  $C_L$ . A primeira componente corresponde à orientação de  $\mathbf{A}$  para a qual  $P$  está mais próximo de  $X_2$ , (entrando de ré e saindo de frente). A segunda componente corresponde à situação inversa, (entrando de frente e saindo de ré).

## Refinamento do Algoritmo:

- Não é necessário construir uma representação explícita das regiões não críticas.
  - Para cada seção de curva crítica  $\beta$ , definir uma orientação e criar duas regiões:  $\text{dir}(\beta)$  e  $\text{esq}(\beta)$ , (à direita e à esquerda de  $\beta$ ).
- $\Rightarrow$  Cada célula aparece repetida no grafo de conectividade tantas vezes quantas forem as seções de curvas que constituem o limite da região não crítica na qual a célula é projetada.



- Dois nós,  $\text{cel}(R, S^\pm)$  e  $\text{cel}(R', S)$ , são conexos por um arco do grafo de conectividade  $G$  se (a) representam a mesma célula, ou (b) são adjacentes (de acordo com a regra de cruzamento):
  - Dadas as regiões  $R = \text{esq}(\beta)$  e  $R' = \text{dir}(\beta')$ , com  $\beta$  e  $\beta'$  partindo de uma mesma extremidade  $Z$ . Se não existir nenhuma outra seção de curva crítica,  $\beta''$  partindo de  $Z$  entre  $\beta$  e  $\beta'$ , então  $R$  e  $R'$  são a mesma região não crítica  $\Rightarrow k = \text{cel}(R, S^\pm)$  e  $k' = \text{cel}(R', S)$  são conexos por um arco em  $G$  se e somente se  $S^\pm = S^\pm$ , (ou seja,  $k$  e  $k'$  são a mesma célula).
  - Dadas as regiões  $R = \text{dir}(\beta)$  e  $R' = \text{esq}(\beta')$ , as células  $k = \text{cel}(R, S^\pm)$  e  $k' = \text{cel}(R', S)$  são conexos por um arco em  $G$  se e somente se são adjacentes de acordo com a regra de cruzamento.

## Detalhamento do Algoritmo:

### 1. **Computar as seções de curva crítica e suas interseções:**

- Para cada curva, ordenar os seus pontos de interseção de acordo com sua ordem na curva (usando uma parametrização adequada).
- Decompor cada curva em seções limitadas por pontos de interseção consecutivos.

### 2. **Computar a relação de adjacência entre células.** Para cada curva crítica $\beta$ que não é parte de um eixo de obstáculo:

- Computar  $\sigma(\text{dir}(\beta))$  e  $\sigma(\text{esq}(\beta))$ : tomar um ponto  $X$  em  $\text{int}(\beta)$  e cortar  $\beta$  em  $X$ , perpendicularmente, por uma reta  $L$ . Calcular as interseções de  $L$  com as curvas críticas. Sobre  $L$ , escolher um ponto  $X'$  (resp.  $X''$ ) em  $\beta_{\text{dir}}$  (resp.  $\beta_{\text{esq}}$ ). Computar  $\sigma$  em  $X'$  e  $X''$ .
- Usando a regra de cruzamento, construir a relação de adjacência entre as células acima de  $\text{dir}(\beta)$  e  $\text{esq}(\beta)$ .
- Se  $\sigma(\text{dir}(\beta)) = \sigma(\text{esq}(\beta))$ ,  $\beta$  é redundante. (Desconsiderar).
- Para curvas do tipo 0, não há relação de adjacência.

### 3. **Formar agrupamentos de seções de curva adjacentes:**

- Para cada ponto de interseção  $Z$ , formar uma lista circular de todas as curvas críticas incidentes em  $Z$ .
- Ordenar esta lista em ordem anti-horária, de acordo com a direção do vetor tangente à curva em  $Z$ .
- Quando duas destas direções forem iguais, computar derivadas de ordem superior.

#### 4. Identificar as células inicial e final:

- Achar uma seção de curva  $\beta_{ini}$  (resp.  $\beta_{fin}$ ) tal que  $(x_{ini}, y_{ini}) \in \text{dir}(\beta_{ini})$  ou  $\text{esq}(\beta_{ini})$  (resp.  $(x_{fin}, y_{fin}) \in \text{dir}(\beta_{fin})$  ou  $\text{esq}(\beta_{fin})$ ).
- Traçar um segmento de reta entre  $(x_{ini}, y_{ini})$  e  $(x_{fin}, y_{fin})$  e computar suas interseções com todas as curvas críticas. (caso não exista interseção, significa que estão na mesma região não crítica).
- Achar  $\beta_{ini}$  e  $\beta_{fin}$  cujas interseções com o segmento são as mais próximas a  $(x_{ini}, y_{ini})$  e  $(x_{fin}, y_{fin})$ , respectivamente.
- Identificar o lado de  $\beta_{ini}$  (resp.  $\beta_{fin}$ ) que contém  $(x_{ini}, y_{ini})$  (resp.  $(x_{fin}, y_{fin})$ ).
- Achar o par  $S_{ini}^{\pm}$  (resp.  $S_{fin}^{\pm}$ ) tal que  $\theta_{ini} \in \theta_c^{\pm}(x_{ini}, y_{ini}, S_{ini}^{\pm})$  (resp.  $\theta_{fin} \in \theta_c^{\pm}(x_{fin}, y_{fin}, S_{fin}^{\pm})$ ).
- Fazer  $k_{ini}$  (resp.  $k_{fin}$ ) igual à célula que contém  $(x_{ini}, y_{ini}, \theta_{ini})$  (resp.  $(x_{fin}, y_{fin}, \theta_{fin})$ )

#### 5. Buscar um canal no grafo de conectividade:

- Inicializar  $G$  com  $k_{ini}$ .
- Expandir iterativamente os nós que não foram expandidos.
- Caso for gerado o nó  $k_{fin}$ , retornar a seqüência de células conectando  $k_{ini}$  a  $k_{fin}$  e parar.
- Caso não existam mais nós para expandir e  $k_{fin}$  não tiver sido encontrado, reportar falha.

Observações:

- A saída do algoritmo é a seqüência de células adjacentes, (canal),  $(k_{ini}, \dots, k_i, \dots, k_{fin})$ , com  $k_i = \text{dir}(\beta_i)$  ou  $\text{esq}(\beta_i)$ .
- Todo caminho entre  $q_{ini}$  e  $q_{fin}$  contido no interior do canal é um caminho livre.
- Um caminho semi-livre pode ser construído a partir da seqüência  $(\beta_{ini}, \dots, \beta_i, \dots, \beta_{fin})$ , o qual pode ser transformado em caminho livre através de deformações arbitrariamente pequenas.

## PLANEJAMENTO DE CAMINHOS

### MÉTODOS BASEADOS EM DECOMPOSIÇÃO EM CÉLULAS – DECOMPOSIÇÃO APROXIMADA

#### Princípio:

- Decomposição de  $C_L$  em regiões não superpostas denominadas células, de formato padrão simples, (por exemplo, retangulóides), cuja união é uma aproximação conservadora de  $C_L$ .  $\Rightarrow$  Não é possível representar  $C_L$  de maneira exata.
- Construção de um grafo de conectividade  $G$  que representa as relações de adjacência entre as células.
- Busca de um Canal (seqüência de células adjacentes ligando a célula contendo  $q_{ini}$  à célula contendo  $q_{fin}$ ) em  $G$
- Extração de um caminho entre  $q_{ini}$  e  $q_{fin}$  a partir do canal.

#### Vantagens:

- Decomposição de  $C_L$  por processo iterativo simples.
- Relativamente insensível a computação aproximada numericamente.
- Implementação mais fácil do que a decomposição exata.
- Permite controlar a "quantidade de espaço livre" em torno de um caminho através da especificação do tamanho mínimo das células.

#### Desvantagens:

- As relações de adjacência entre células são arbitrárias, não caracterizando descontinuidades nas restrições de movimento, incorporando de maneira menos explícita os aspectos da estrutura matemática do problema de planejamento.
- Por ser baseado numa aproximação conservadora de  $C_L$ , em certos casos o método pode falhar na busca de um caminho livre, mesmo existindo um.  $\Rightarrow$  O método é incompleto.

### Considerações sobre o tamanho da célula:

- Tamanho de célula grande  $\Rightarrow$  menor esforço computacional e maior probabilidade de falhar na busca de um caminho livre, caso exista um.
- Tamanho de célula pequeno  $\Rightarrow$  maior esforço computacional e menor probabilidade de falhar na busca de um caminho livre, caso exista um.
- No limite, o método pode ser tornado completo fazendo o tamanho da célula tender a zero, a expensas de um maior esforço computacional, (o qual tende a infinito no limite).
- Solução de compromisso: Decomposição Hierárquica. Começar com uma decomposição de baixa resolução e, progressivamente, refinar a decomposição localmente, em torno dos obstáculos, até encontrar um caminho livre ou atingir uma resolução máxima especificada.

### Aplicabilidade do método:

- Método geral, aplicável ao problema básico de planejamento e a várias das suas extensões.
- Na prática, a complexidade temporal e espacial do método cresce rapidamente com a dimensão  $m$  do espaço de configuração.
- Aplicável com vantagem em relação a outros métodos para espaços de configuração de dimensão baixa ( $m \leq 5$ ).

Descrição Geral:

- **Retangulóide**,  $D$ , é a região fechada de  $J^n$ :

$$D = \{(x_1, \dots, x_n) / x_1 \in [x_1', x_1''], \dots, x_n \in [x_n', x_n'']\}$$

onde,  $d_i = x_i'' - x_i'$  = dimensões de  $D$ , com  $d_i \neq 0$ .

Se o conjunto de possíveis posições de  $A$  está contido em um retangulóide  $D \subset J^n$ , o espaço de configuração livre é representado por:  $C_L = R \setminus CB$ , onde  $CB$  é a região de  $C$ -obstáculos e a região  $R$  é definida como:

$$\begin{aligned} R &= \text{int}(D) && \text{se } C = J^n. \\ R &= \text{int}(D) \times [0, 2\pi] && \text{se } C = J^2 \times S^1. \\ R &= \text{int}(D) \times [0, 2\pi] \times [0, \pi] \times [0, 2\pi] && \text{se } C = J^3 \times SO(3). \end{aligned}$$

- Uma Decomposição em Retangulóides,  $P$ , do retangulóide de dimensão  $m$ ,  $\Omega = \text{cl}(R)$ , (onde  $m = \text{dimensão de } C$ ), é a coleção finita de retangulóides  $\{k_i\}$ , com  $i = 1, \dots, r$ , tal que:

- $\Omega$  é igual à união dos retangulóides:  $\Omega = \cup k_i$ .
- A interseção dos interiores dos  $k_i$ 's é nula:  
 $\forall i, j \in [1, r], \text{ com } i \neq j : \text{int}(k_i) \cap \text{int}(k_j) = \emptyset$ .

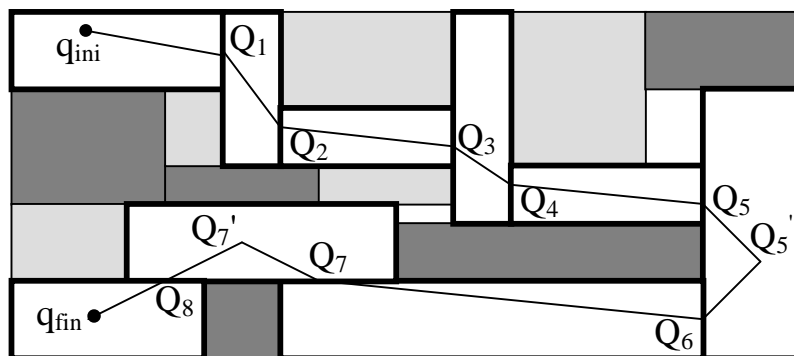
- Os retangulóides  $k_i$ 's, denominados células da decomposição  $P$ , são adjacentes se e somente se sua interseção é um conjunto de tamanho não nulo em  $J^m$ , levando em consideração que:

- Se  $C = J^2 \times S^1 \Rightarrow (x, y, 2\pi) = (x, y, 0)$
- Se  $C = J^3 \times SO(3) \Rightarrow (x, y, z, 2\pi, \theta, \psi) = (x, y, z, 0, \theta, \psi)$   
 $(x, y, z, \phi, \pi, \psi) = (x, y, z, \phi, 0, 2\pi - \psi)$   
 $(x, y, z, \phi, \theta, 2\pi) = (x, y, z, \phi, \theta, 0)$

- Uma célula  $k_i$  é classificada como:
  - Vazia, (célula-V):  $\Leftrightarrow k_i \cap CB = \emptyset$ .
  - Cheia, (célula-C):  $\Leftrightarrow k_i \subseteq CB$ .
  - Mesclada, (célula-M):  $\Leftrightarrow k_i \cap CB \neq \emptyset$  e  $k_i \cap C_L \neq \emptyset$ .

**Grafo de Conectividade**,  $G$ , associado à decomposição  $P$  de  $\Omega$  é o grafo não direcional, tal que:

- Os nós de  $G$  são as células vazias e mescladas de  $P$ .
  - Dois nós de  $G$  são conexos por um arco, se e somente se, as células correspondentes são adjacentes.
- Canal: seqüência de células-V e/ou células-M,  $k_i$ , com  $i=1, \dots, p$ , tal que quaisquer duas células consecutivas,  $k_i$  e  $k_{i+1}$  são adjacentes.
  - Canal-V: canal que contém apenas células-V.  $\Rightarrow$  Todo caminho entre  $k_1$  e  $k_p$  em  $\text{int}(\cup k_i)$  é um caminho livre.
  - Canal-M: canal que contém ao menos uma célula-M.  $\Rightarrow$  É possível, mas não garantida, a existência de um caminho no canal entre  $k_1$  e  $k_p$ .
  - O objetivo do método é achar um canal-V, tal que  $q_{\text{ini}} \in k_1$  e  $q_{\text{fin}} \in k_p$ . Seja  $\beta_i = \partial k_i \cap \partial k_{i+1}$ , pode-se extrair um caminho livre entre  $q_{\text{ini}}$  e  $q_{\text{fin}}$  a partir do canal, ligando com um segmento de reta, para cada célula, um ponto  $Q_i \in \text{int}(\beta_i)$  a um ponto  $Q_{i+1} \in \text{int}(\beta_{i+1})$ . Se  $Q_i$  e  $Q_{i+1}$  pertencem a subconjuntos distintos da mesma face da célula  $k_i$ , criar um ponto auxiliar intermediário  $Q_i'$  entre os mesmos.



### Planejamento Hierárquico de Caminhos:

- Geração de um canal-V através da construção de decomposições sucessivas de  $\Omega$ ,  $P_i$ , com  $i \in \mathbb{J}$ .
- $P_i$  é obtida a partir de  $P_{i-1}$ , (com  $P_0 = \Omega$ ), decompondo uma ou mais células-M.
- Busca de um canal entre  $k_{ini}$  (com  $q_{ini} \in k_{ini}$ ) e  $k_{fin}$  (com  $q_{fin} \in k_{fin}$ ) no grafo de conectividade  $G_i$  associado a  $P_i$ .

### Algoritmo de Planejamento por Primeiro Corte:

1. Computar  $P_1$  de  $\Omega$ . Fazer  $i = 1$ .
2. Buscar, em  $G_i$  de  $P_i$ , um canal entre  $k_{ini}$  e  $k_{fin}$ .
  - Se um canal-V é encontrado, sucesso. Retornar o canal.
  - Se um canal-M,  $\Pi_i$ , é encontrado, ir para o passo 3.
  - Caso contrário, reportar falha.
3. Fazer  $P_i \leftarrow P_{i+1}$ .
  - Para cada célula-M,  $k$ , em  $\Pi_i$ , computar a decomposição  $P^k$  de  $k$  e fazer  $P_{i+1} \leftarrow [P_{i+1} \setminus \{k\}] \cup P^k$ .
  - $i \leftarrow i+1$  e voltar para o passo 2.

### Observações:

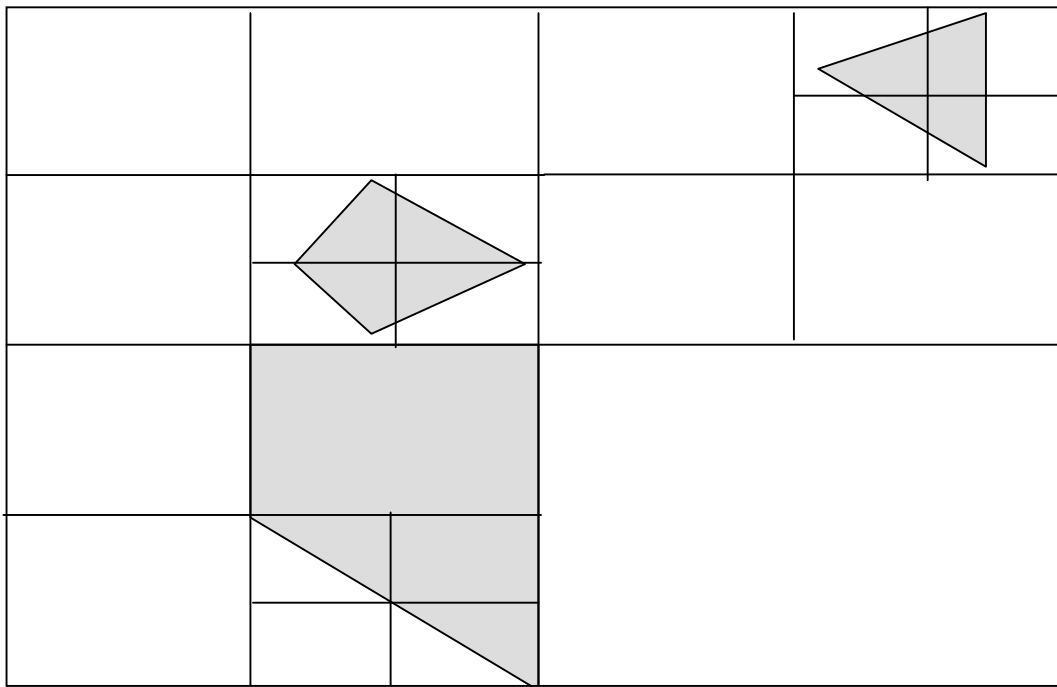
- A busca em  $G_i$  pode ser guiada por várias heurísticas, por exemplo: buscar um canal-V antes de um canal-M, buscar canais mais curtos, etc.
- Um canal-V existente em  $P_i$  continuará a existir em  $P_j$ , com  $j > i$ .
- O método pode ser tornado completo quando o tamanho das células-M tende a zero (e o tempo de cômputo tende a infinito). Pode-se limitar este tempo (às custas de tornar o método incompleto) colocando restrições no tamanho mínimo das células. Exemplo: impor que o volume de células-C e células-V seja maior que uma certa percentagem do volume de  $P^k$ , rotular como cheias as células-M menores do que um tamanho especificado, etc.

## Método de Decomposição por Divisão e Rotulagem:

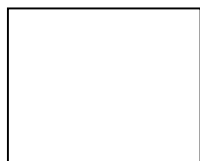
Princípio: Decompor uma célula mesclada dividindo-a em células menores. Rotular as células resultantes de acordo com a sua interseção com CB.

### Decomposição em Árvore- $2^m$ :

- Seja  $m = \dim(W)$ , a decomposição de  $\Omega$  em árvore- $2^m$  consiste em uma árvore na qual cada nó, (célula retangulóide vazia, cheia ou mesclada), se não for folha da árvore, é pai de exatamente  $2^m$  nós filhos.
- A raiz da árvore é  $\Omega$ .
- Somente os nós que são células mescladas podem ter  $2^m$  filhos.
- Todos os nós filhos possuem o mesmo tamanho e são obtidos dividindo a célula mãe ao meio em todos os seus eixos.
- Se  $m = 2$ , a árvore é quádrupla. Se  $m = 3$ , a árvore é ócupla.
- A altura  $h_i$  de um nó, (número de arcos entre a raiz e o nó), correspondente a um nível de decomposição  $P_i$ , determina o tamanho da célula correspondente em relação a  $\Omega$ .
- A altura  $h$  da árvore, (altura do nó mais alto) determina a resolução da decomposição (menor tamanho de célula).
- Na inicialização do algoritmo de decomposição, devem ser decompostas todas as células-M cuja altura for menor do que a altura  $h_1$  da decomposição inicial  $P_1$ .
- Nos passos subseqüentes, somente as células-M localizadas em um canal-M são decompostas.
- Uma altura máxima  $h_{\max}$  é especificada para limitar o processo iterativo.
- Cada célula-M cuja altura for igual a  $h_{\max}$  deve ser re-rotulada como Cheia.
- O número de folhas cresce exponencialmente com  $m$  e  $h$ , (pior caso =  $2^{m \cdot h}$  folhas). Na prática, este número é significativamente menor, pois a árvore é podada em cada célula-V e em cada célula-C encontradas.



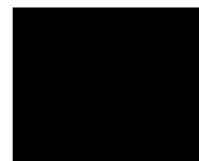
1	2
4	3



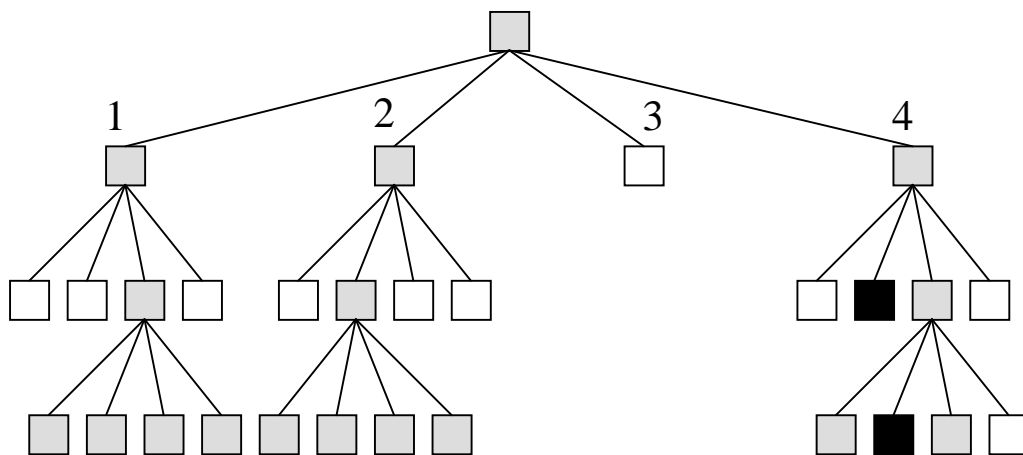
Vazia



Mesclada



Cheia



## Rotulagem em $\mathbb{J}^2$ :

- $\Omega \subset \mathbb{J}^2$ , com robô e obstáculos poligonais, robô com orientação fixa.
- CB descrito por C-Sentença:  $S_\Omega = \bigvee_i \wedge_j e_{ij}$ .
- Cada C-restrição  $e_{ij}$  é da forma:  $a_{ij} \cdot x + b_{ij} \cdot y + c_{ij} \leq 0$ .
- Cada conjunção  $\wedge_j e_{ij}$  corresponde a um C-obstáculo convexo.
- C-Sentença  $S_k$  associada a uma célula  $k$  da decomposição descreve a sua interseção com CB.
- $S_k$  é derivada iterativamente a partir de  $S_\Omega$ .
- Quando uma célula-M,  $k$ , é decomposta,  $S_k$  é utilizada para rotular as células resultantes (V, M, ou C).
- No processo de rotulagem de uma nova célula, a C-Sentença correspondente pode ser simplificada sempre que uma das C-restrições  $e_{ij}$  é satisfeita ou contradita em todos os pontos dela.
- A C-Sentença simplificada é associada à nova célula se esta for mesclada, reduzindo o esforço computacional.
- O número de C-restrições em  $S_k$  tende a diminuir consideravelmente com o tamanho da célula.
  
- Uma célula  $k$  está Dentro da C-restrição  $e_{ij}$  se todos os pontos  $(x,y) \in k$  satisfazem  $e_{ij}$ . Teste  $\Rightarrow k$  está dentro de  $e_{ij}$  se seus quatro vértices satisfazem:  $a_{ij} \cdot x + b_{ij} \cdot y + c_{ij} \leq 0$ .
  
- Uma célula  $k$  está Fora da C-restrição  $e_{ij}$  se todos os pontos  $(x,y) \in k$  contradizem  $e_{ij}$ . Teste  $\Rightarrow k$  está fora de  $e_{ij}$  se seus quatro vértices satisfazem:  $a_{ij} \cdot x + b_{ij} \cdot y + c_{ij} \geq 0$ .
  
- Uma célula  $k$  é Cortada pela C-restrição  $e_{ij}$  se não está dentro nem fora de  $e_{ij}$ .

Algoritmo para rotulagem de uma nova célula  $k$  e simplificação da C-Sentença  $S$  associada a sua célula mãe:

Sejam:

$S$  = C-Sentença associada à célula- $M$ , mãe da célula  $k$ .

$\Lambda$  = conjunção,  $\Lambda \in S$ .

$e$  = C-restrição,  $e \in \Lambda$ .

**procedimento** ROTULAGEM( $k,S$ );

**começar**

**para** cada conjunção  $\Lambda \in S$  **faça**

**começar**

**para** cada C-restrição  $e \in \Lambda$  **faça**

**começar**

**se**  $k$  está dentro de  $e$  **então**  $\Lambda \leftarrow \Lambda \setminus \{e\}$ ;

**se não**, **se**  $k$  está fora de  $e$  **então**  $S \leftarrow S \setminus \{\Lambda\}$ ;

**fim**;

**se**  $\Lambda \in S$  e  $\Lambda = \emptyset$  **então**

**começar**

rotular  $k$  como CHEIA;

sair do procedimento;

**fim**;

**fim**;

**se**  $S = \emptyset$  **então** rotular  $k$  como VAZIA;

**se não**

**começar**

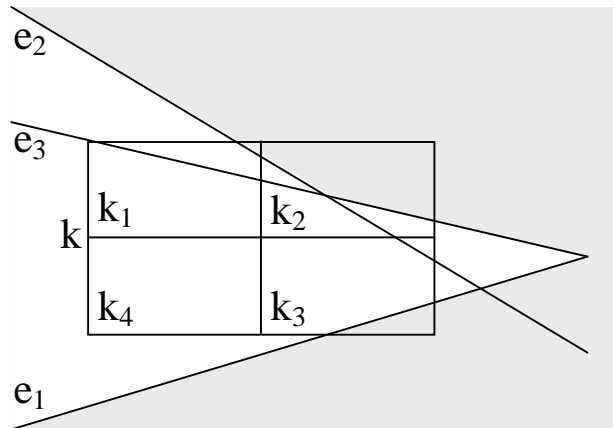
rotular  $k$  como MESCLADA;

associar  $S$  a  $k$ ;

**fim**;

**fim**;

### Exemplo:



$$S_k = e_1 \vee (e_2 \wedge e_3) \Rightarrow k = \text{MESCLADA.}$$

$$S_{k_1} = (e_2 \wedge e_3) \Rightarrow k_1 = \text{MESCLADA.}$$

$$S_{k_2} = (e_2 \wedge e_3) \Rightarrow k_2 = \text{MESCLADA.}$$

$$S_{k_3} = e_1 \Rightarrow k_3 = \text{MESCLADA.}$$

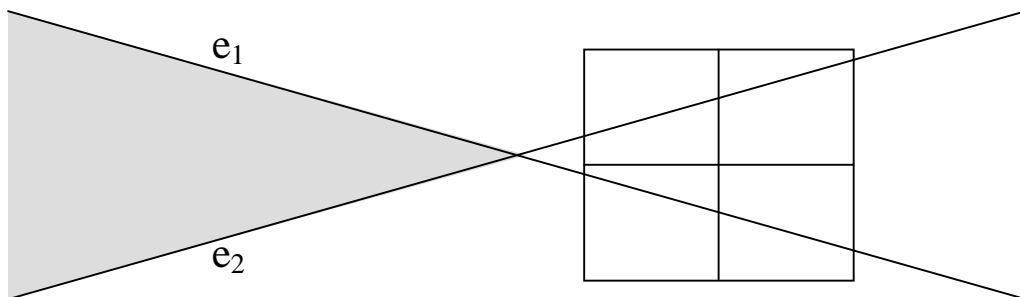
$$S_{k_4} = \emptyset \Rightarrow k_4 = \text{VAZIA.}$$

### Observações:

- O procedimento de rotulagem pode ser utilizado para testar adjacência entre duas células,  $k_1$  e  $k_2$ , (uma delas mesclada e a outra mesclada ou vazia), que são adjacentes se e somente se:
  - $\beta = \partial k_1 \cap \partial k_2$  é um segmento de comprimento não nulo.
  - $\beta$ , considerado como célula degenerada unidimensional, não rotulada como cheia ao aplicar o procedimento de rotulagem com  $S = S_{k_1}$  (se  $k_1$  é mesclada) e  $S = S_{k_2}$  (se  $k_2$  é mesclada).
- O procedimento de rotulagem é aplicável a  $\Omega = ]^3$ , com robô e obstáculos poliédricos, robô com orientação fixa. Cada C-restrição  $e_{ij}$  numa C-Sentença é da forma:  $a_{ij} \cdot x + b_{ij} \cdot y + c_{ij} \cdot z + d_{ij} \leq 0$ . Para determinar se uma célula retangulóide está dentro ou fora de  $e_{ij}$ , deve-se checar a C-restrição com os seus oito vértices.

- O procedimento é conservativo. Cada C-restrição é tratada independentemente das outras. Portanto, algumas células podem ser rotuladas como mescladas, mesmo não intersectando qualquer C-obstáculo. Apesar disso, esta rotulagem errônea é corrigida posteriormente, em decomposições mais refinadas destas células.

Exemplo:



### Rotulagem em $\mathbb{J}^2 \times S^1$ :

- $\Omega = \mathbb{R} \times [0, 2\pi]$
- CB descrito por coleção  $S_\Omega$  de C-sentenças  $\sigma = \bigvee e_{ij}$
- Cada C-restrição é da forma  $e_{ij} = a_{ij}(\theta).x + b_{ij}(\theta).y + c_{ij}(\theta) \leq 0$ .
- $\sigma$  aplicável somente sobre certo intervalo fechado  $\delta_\sigma$  das orientações  $\theta$  de  $\mathbf{A}$ .  $\Rightarrow \sigma$  só descreve a região CB dentro de  $\delta_\sigma$ .
- Os extremos de  $\delta_\sigma$  são orientações críticas de  $\mathbf{A}$ , nas quais há mudança na natureza dos possíveis contatos com os obstáculos.
- A rotulagem de uma célula  $k = [x, x'] \times [y, y'] \times [\theta, \theta']$  é complicada devido a:
  - a) A C-sentença pode variar ao longo de  $[\theta, \theta']$ .
  - b) As C-sentenças são funções não lineares de  $\theta$ .

### **Multiplicidade de C-Sentenças:**

- Uma C-restrição  $e_{ij}$  pode não ser aplicável totalmente numa célula  $k \Rightarrow$  não se pode afirmar que  $k$  está dentro ou fora de  $e_{ij}$ .

### Solução:

- particionar  $[\theta, \theta']$  em  $r$  subintervalos fechados máximos,  $I_l = [\theta_l, \theta'_l]$ , com  $l \in [1, r]$ , tal que uma C-sentença simples  $S_l$  de  $S$  se aplica a cada  $I_l$ .
- Para cada  $l \in [1, r]$ , considerar a sub-célula  $k_l$  de  $k$  correspondente, tal que  $k_l = [x, x'] \times [y, y'] \times I_l$ .
- $k_l$  está Dentro de uma C-restrição  $e \in S_l$  se esta é satisfeita para todos os pontos  $(x, y, \theta) \in k_l$ .
- $k_l$  está Fora de uma C-restrição  $e \in S_l$  se esta é contradita para todos os pontos  $(x, y, \theta) \in k_l$ .
- Se  $k_l$  não está nem dentro nem fora de  $S_l$ , dizemos que ela é Cortada pela C-restrição  $e$ .

- Uma sub-célula  $k_i$  pode ser rotulada como VAZIA, CHEIA ou MESCLADA, aplicando o procedimento ROTULAGEM( $k_i, S_i$ )

Uma célula  $k$  é rotulada como:

- VAZIA, se todas as suas sub-células  $k_i$  forem VAZIAS.
- CHEIA, se todas as suas sub-células  $k_i$  forem CHEIAS.
- MESCLADA, caso contrário.
- O procedimento ROTULAGEM( $k_i, S_i$ ) simplifica cada  $S_i$  resultando na C-sentença simplificada  $S_i'$ . Se  $k$  for rotulada como MESCLADA, a coleção de C-sentenças simplificadas correspondentes,  $S_k = \{S_1', \dots, S_n'\}$  é associada a  $k$ , com  $S$  avaliada como VERDADEIRA (resp. FALSA) se  $k_i$  for rotulada como CHEIA (resp. VAZIA).

### **Não Linearidade das C-restrições:**

- Considere uma sub-célula retangulóide  $k_i = [x, x'] \times [y, y'] \times I_i$ , onde  $I_i = [\theta_i, \theta_i']$  está contido no domínio de aplicabilidade de uma C-restrição  $e$ :

$$e = \{ a(\theta).x + b(\theta).y + c(\theta) \leq 0 \}$$

- Considere a projeção no plano  $xy$  da porção da C-superfície  $a(\theta).x + b(\theta).y + c(\theta) = 0$  contida em  $I_i$ :
  - O segmento ligando os pontos  $(x, y, \theta_i)$  e  $(x, y, \theta_i')$  está de um único lado da C-superfície se o ponto  $(x, y)$  está fora desta projeção.
  - O segmento ligando os pontos  $(x, y, \theta_i)$  e  $(x, y, \theta_i')$  atravessa a C-superfície se o ponto  $(x, y)$  está dentro desta projeção.

⇒ Pode-se rotular uma sub-célula  $k_i$  de  $k$  verificando a posição do retângulo  $[x_k, x_k'] \times [y_k, y_k']$  em relação a esta projeção.

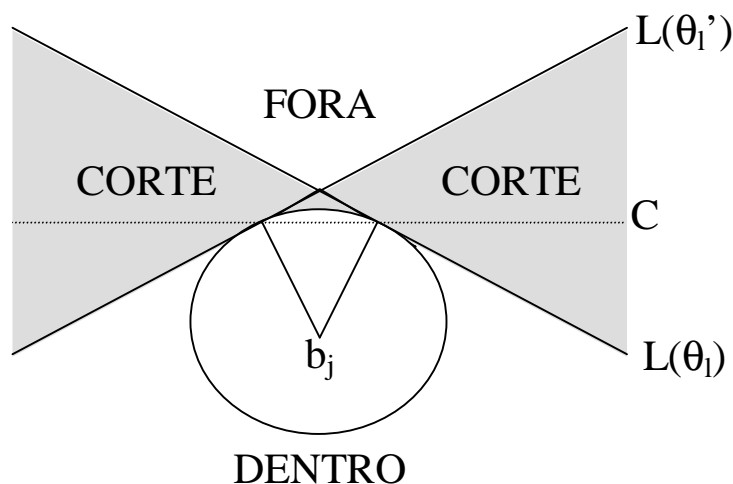
### C-restrição de contato tipo A:

$$\Rightarrow -x.\cos(\phi_i+\theta)-y.\text{sen}(\phi_i+\theta)+\|b_j\|.\cos(\phi_i+\theta-\beta_j)-\|a_i\|.\cos(\phi_i-\alpha_i) \leq 0$$

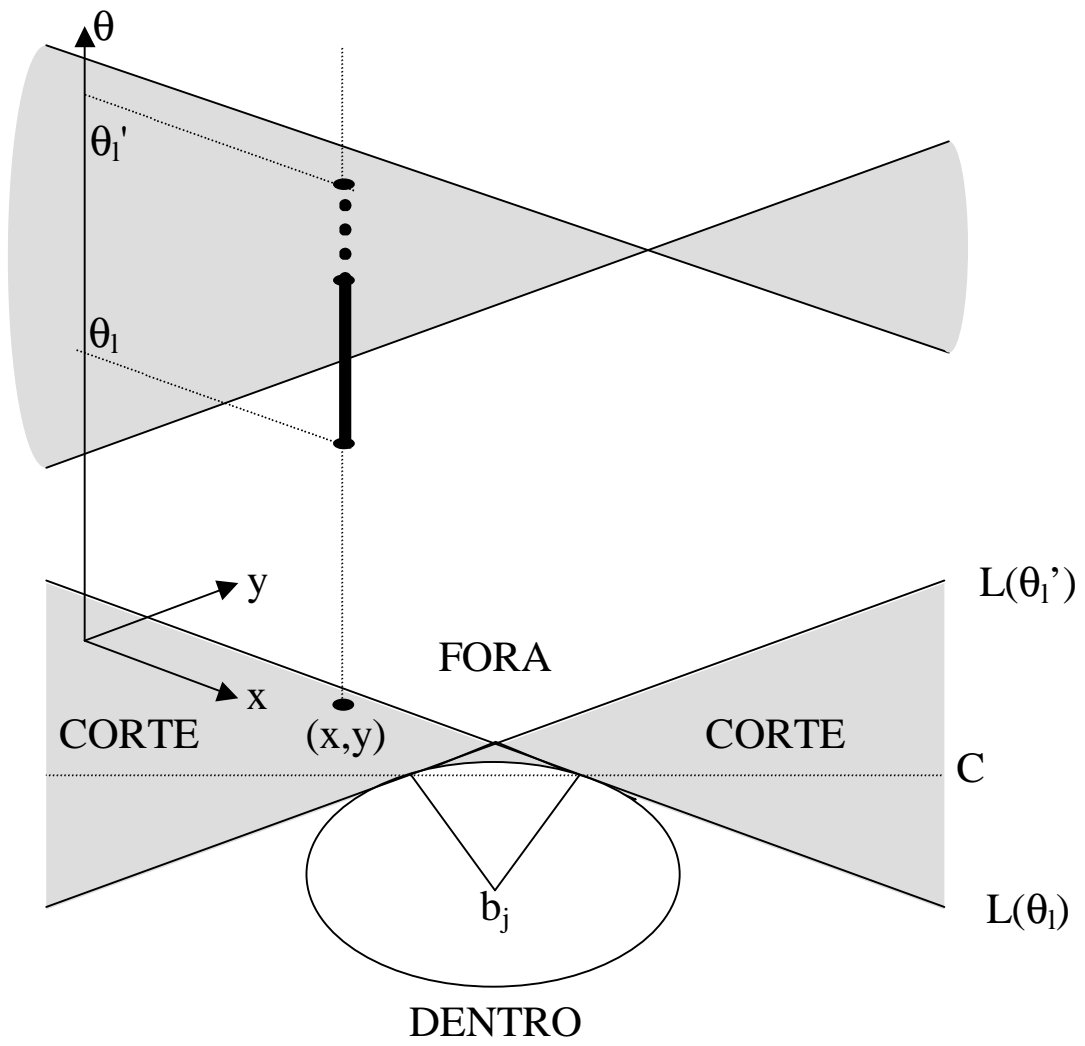
- Contato entre um eixo  $E_i^A$  entre os vértices  $a_i$  e  $a_{i+1}$  do robô e um vértice  $b_j$  de obstáculo.
- A interseção da C-superfície com o plano  $\theta$  é a reta  $L(\theta)$ :

$$-x.\cos(\phi_i+\theta)-y.\text{sen}(\phi_i+\theta)+\|b_j\|.\cos(\phi_i+\theta-\beta_j)-\|a_i\|.\cos(\phi_i-\alpha_i) = 0$$

- Para  $\theta$  variando dentro de  $[\theta_1, \theta_1']$ , a reta  $L(\theta)$  gira de modo correspondente em torno do vértice  $b_j$ .
- A projeção da fatia  $[\theta_1, \theta_1']$  da C-superfície no plano  $xy$  corresponde à projeção de  $L(\theta)$ , com  $\theta$  variando entre  $\theta_1$  e  $\theta_1'$ .
- As orientações limite  $\theta_1$  e  $\theta_1'$  definem as retas limites correspondentes  $L(\theta_1)$  e  $L(\theta_1')$ .
- A projeção da fatia  $[\theta_1, \theta_1']$  da C-superfície no plano  $xy$  é denominada região de CORTE da C-restrição, a qual separa as regiões FORA e DENTRO desta C-restrição.



$\Rightarrow$  Para todo ponto  $(x,y)$  FORA (resp. DENTRO) da região de CORTE, o segmento entre  $(x,y,\theta_1)$  e  $(x,y,\theta_1')$  está completamente fora (resp. dentro) de  $e_{ij}$ .



Observações:

- O vértice  $b_j$  está na região de projeção DENTRO da C-restrição se  $\cos(\phi_i - \alpha_i) > 0$ .
- O vértice  $b_j$  está na região de projeção FORA da C-restrição se  $\cos(\phi_i - \alpha_i) < 0 \Rightarrow$  robô não convexo.
- $b_j$  está exatamente no ponto de interseção das retas  $L(\theta_l)$  e  $L(\theta_l')$  se  $\cos(\phi_i - \alpha_i) = 0$ .
  
- Cada um dos pontos do retângulo  $[x_k, x_k'] \times [y_k, y_k']$  estará FORA da região se estiver no lado de fora de  $L(\theta_l)$  e  $L(\theta_l')$ .
- Cada um dos pontos do retângulo  $[x_k, x_k'] \times [y_k, y_k']$  estará DENTRO da região se estiver no lado de dentro de  $L(\theta_l)$  e  $L(\theta_l')$ , mas não na pequena área entre as duas retas e o círculo.
  
- Pode-se checar se um ponto está nesta pequena área testando primeiro se a sua distância a  $b_j$  é maior do que o raio do círculo e, caso for, checar de que lado da corda C se encontra o ponto.

Teste de corte pela C-restrição  $e_{ij}$  para a sub-célula  $k_l$ :

- Se os quatro vértices do retângulo  $[x_k, x_k'] \times [y_k, y_k']$  estiverem na região FORA da C-restrição, a sub-célula  $k_l$  correspondente está FORA da C-restrição.
- Se os quatro vértices do retângulo  $[x_k, x_k'] \times [y_k, y_k']$  estiverem na região DENTRO da C-restrição, a sub-célula  $k_l$  correspondente está DENTRO da C-restrição.
- Caso contrário, a sub-célula  $k_l$  é CORTADA pela C-restrição.

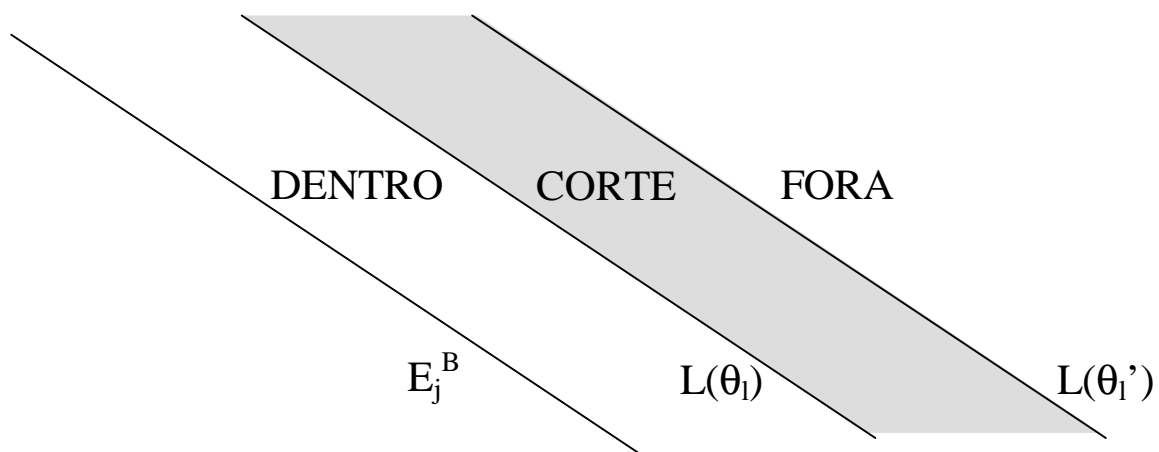
### C-restrição de contato tipo B:

$$\Rightarrow x.\cos(\xi_j) - y.\text{sen}(\xi_j) + \|a_i\|.\cos(\alpha_i+\theta-\xi_j) - \|b_j\|.\cos(\beta_j-\xi_j) \leq 0.$$

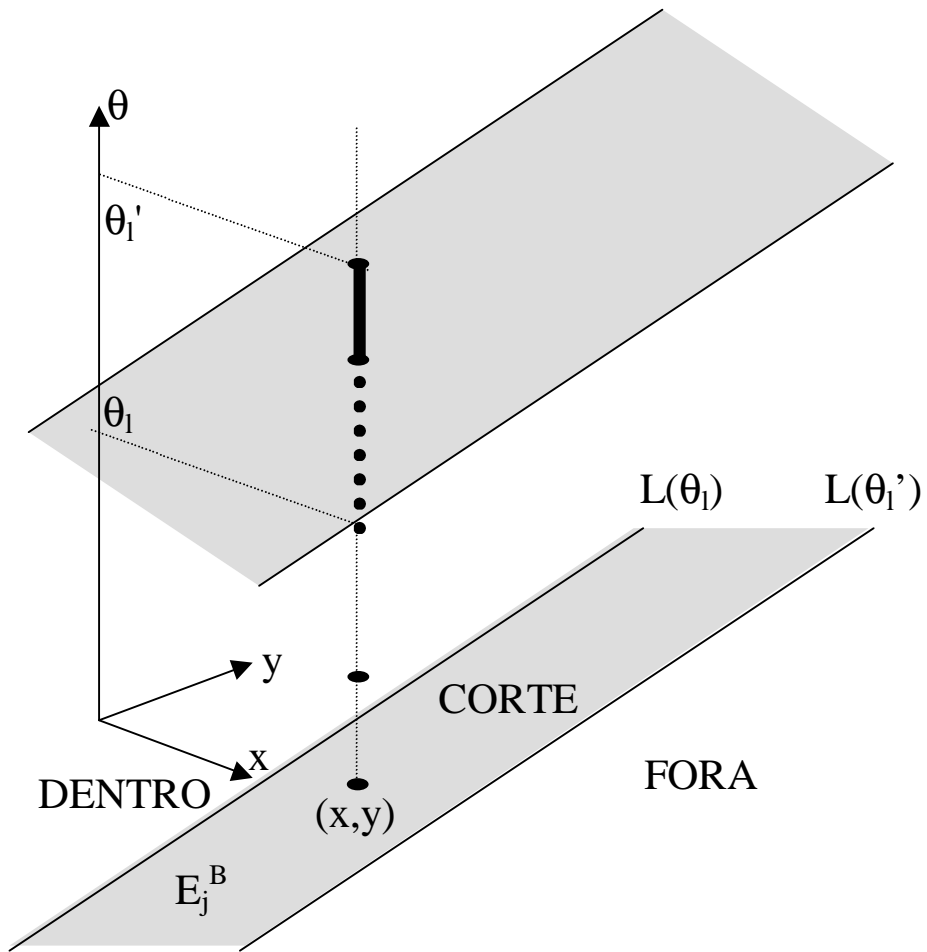
- Contato entre um eixo  $E_j^B$  entre os vértices  $b_j$  e  $b_{j+1}$  de obstáculo e um vértice  $a_i$  do robô.
- A interseção da C-superfície com o plano  $\theta$  é a reta  $L(\theta)$ :

$$x.\cos(\xi_j) - y.\text{sen}(\xi_j) + \|a_i\|.\cos(\alpha_i+\theta-\xi_j) - \|b_j\|.\cos(\beta_j-\xi_j) = 0.$$

- Para  $\theta$  variando dentro de  $[\theta_1, \theta_1']$ , a reta  $L(\theta)$  sofre uma translação (sem rotação) paralela ao eixo de contato  $E_j^B$ .
- A projeção da fatia  $[\theta_1, \theta_1']$  da C-superfície no plano  $xy$  corresponde à projeção de  $L(\theta)$ , com  $\theta$  variando entre  $\theta_1$  e  $\theta_1'$ .
- As orientações limite  $\theta_1$  e  $\theta_1'$  definem as retas limites correspondentes  $L(\theta_1)$  e  $L(\theta_1')$ .
- A projeção da fatia  $[\theta_1, \theta_1']$  da C-superfície no plano  $xy$  é denominada região de CORTE da C-restrição, a qual separa as regiões FORA e DENTRO desta C-restrição.



$\Rightarrow$  Para todo ponto  $(x,y)$  FORA (resp. DENTRO) da região de CORTE, o segmento entre  $(x,y,\theta_1)$  e  $(x,y,\theta_1')$  está completamente fora (resp. dentro) de  $e_{ij}$ .



Observações:

- Cada um dos pontos do retângulo  $[x_k, x_k'] \times [y_k, y_k']$  estará FORA da região se estiver no lado de fora de  $L(\theta_l)$  e  $L(\theta_l')$ .
- Cada um dos pontos do retângulo  $[x_k, x_k'] \times [y_k, y_k']$  estará DENTRO da região se estiver no lado de dentro de  $L(\theta_l)$  e  $L(\theta_l')$ , mas não na pequena área entre as duas retas e o círculo.
- As equações das retas limites são:

$$x \cdot \cos(\xi_j) - y \cdot \sin(\xi_j) + \|a_i\| \cdot \cos(\alpha_i + \theta_a - \xi_j) - \|b_j\| \cdot \cos(\beta_j - \xi_j) = 0.$$

$$x \cdot \cos(\xi_j) - y \cdot \sin(\xi_j) + \|a_i\| \cdot \cos(\alpha_i + \theta_b - \xi_j) - \|b_j\| \cdot \cos(\beta_j - \xi_j) = 0.$$

Onde  $\theta_a$  e  $\theta_b$  fornecem os valores extremos para  $\cos(\alpha_i + \theta - \xi_j)$  sobre  $\theta \in [\theta_l, \theta_l']$ :

- $\theta_a$  e  $\theta_b \in \{\theta_l, \theta_l', \xi_j - \alpha_i\}$ , se  $(\xi_j - \alpha_i) \in [\theta_l, \theta_l']$ .
- $\theta_a$  e  $\theta_b \in \{\theta_l, \theta_l'\}$ , caso contrário.

Teste de corte pela C-restrição  $e_{ij}$  para a sub-célula  $k_l$ :

- Se os quatro vértices do retângulo  $[x_k, x_k'] \times [y_k, y_k']$  estiverem na região FORA da C-restrição, a sub-célula  $k_l$  correspondente está FORA da C-restrição.
- Se os quatro vértices do retângulo  $[x_k, x_k'] \times [y_k, y_k']$  estiverem na região DENTRO da C-restrição, a sub-célula  $k_l$  correspondente está DENTRO da C-restrição.
- Caso contrário, a sub-célula  $k_l$  é CORTADA pela C-restrição.

## Busca Hierárquica no Grafo de Conectividade:

Princípio: Utilizar a busca feita no grafo  $G_{i-1}$  associado à decomposição  $P_{i-1}$  para ajudar a busca em  $G_i$  de  $P_i$ .

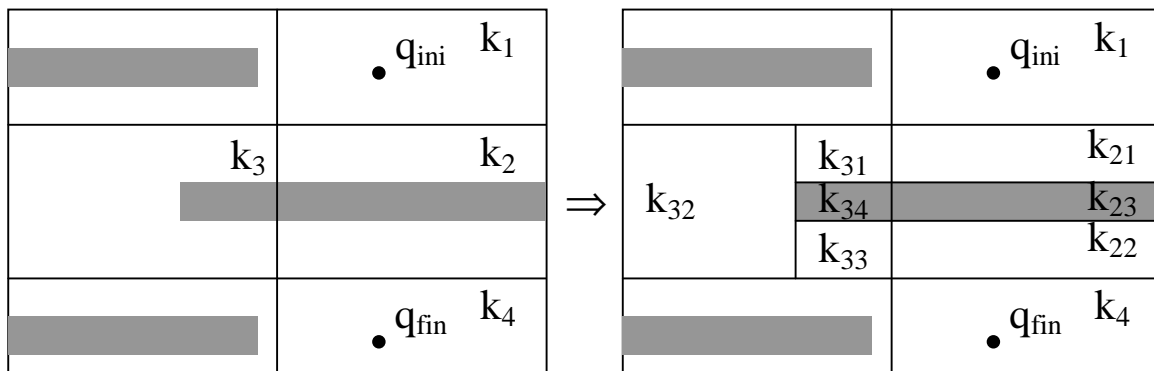
### Algoritmo de busca hierárquico:

- Construir uma hierarquia de grafos de conectividade (GC's).
- O GC raiz,  $G^\Omega$ , corresponde ao grafo  $G_1$  da primeira decomposição,  $P_1$ , de  $\Omega$ . Qualquer outro GC na hierarquia,  $G^k$ , corresponde à decomposição de uma célula-M  $k$ .
- Buscar um canal  $\Pi_1$  entre  $k_{ini}$  e  $k_{fin}$ . Se  $\Pi_1 = \text{canal-V}$ , sucesso, retornar  $\Pi_1$ . Se nenhum canal é encontrado, reportar falha.
- Se  $\Pi_1$  é um canal-M, cada célula-M,  $k \in \Pi_1$ , é decomposta recursivamente, buscando um sub-canal  $\Pi^k$  que conecte apropriadamente as duas partes de  $\Pi_1$  divididas por  $k$ .
- Sucessivos canais completos  $\Pi_i$  ( $i = 2, 3, \dots$ ) conectando  $k_{ini}$  a  $k_{fin}$  são construídos iterativamente procurando por um canal-V.
- $\Pi_i$  é construído a partir de  $\Pi_{i-1}$ , partindo de  $k_{ini}$  e analisando seqüencialmente cada célula  $k \in \Pi_{i-1}$ :
  - Se  $k$  é vazia,  $k$  é incluída no extremo do canal  $\Pi_i$  corrente.
  - Se  $k$  é mesclada,  $k$  é decomposta em um conjunto de células menores  $P^k$ , cujo GC associado é  $G^k$ , no qual busca-se um sub-canal  $\Pi^k$  que satisfaça:
    - a) Se  $k$  é a primeira célula em  $\Pi_{i-1}$ , ( $k = k_{ini}$ ), então, a primeira célula de  $\Pi^k$  deve conter também conter  $q_{ini}$ .
    - b) Se  $k$  é a última célula em  $\Pi_{i-1}$ , ( $k = k_{fin}$ ), então, a última célula de  $\Pi^k$  deve conter também conter  $q_{fin}$ .
    - c) Se  $k$  não é a primeira célula em  $\Pi_{i-1}$ , a primeira célula de  $\Pi^k$  deve ser adjacente à última célula do  $\Pi_i$  corrente.
    - d) Se  $k$  não é a última célula em  $\Pi_{i-1}$ , a última célula de  $\Pi^k$  deve ser adjacente à célula seguinte a  $k$  em  $\Pi_{i-1}$ .
- Se  $\Pi^k$  é obtido com sucesso,  $\Pi^k$  é anexado ao final de  $\Pi_i$ .
- Se todas as células de  $\Pi_{i-1}$  foram tratadas com sucesso,  $\Pi_i$  é um canal-V, (sucesso), ou um canal-M, (refinar  $\Pi_i$  em  $\Pi_{i+1}$ ).

### Ocorrência de Células em um Canal:

- Eventualmente, um canal-V pode ser gerado refinando um canal-M, sem precisar reconsiderar um GC global.  $\Rightarrow$  É importante considerar múltiplas ocorrência de uma mesma célula-M em um canal-M.
- Diferentes ocorrências podem levar a diferentes sub-canais.

Exemplo:



- Canal-M ( $k_1, k_2, k_3, k_2, k_4$ )  $\Rightarrow$  Canal-V ( $k_1, k_{21}, k_{31}, k_{32}, k_{33}, k_{22}, k_4$ ).
- O canal-V não poderia ser encontrado caso a célula  $k_2$  não tivessem sido consideradas duas ocorrências da célula  $k_2$ .

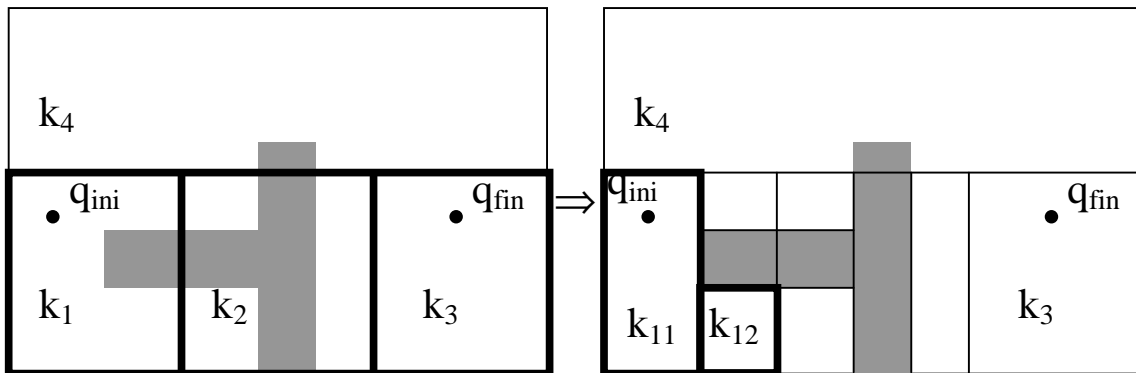
$\Rightarrow$  Elementos de um canal  $\Pi_i =$  Ocorrência de célula.

- $w_i^j = j$ -ésima ocorrência de célula no canal  $\Pi_i$ .
- $cel(w) =$  célula correspondente à ocorrência  $w$ .
- A ocorrência  $w$  é VAZIA (resp. MESCLADA) se e somente se  $cel(w)$  é VAZIA (resp. MESCLADA).
- $\Pi^w =$  sub-canal resultante do refinamento da ocorrência  $w$ , construído na pesquisa de  $G^k$  associado a  $k = cel(w)$ .
- Se o canal-M  $\Pi_i$  contém múltiplas ocorrências da célula-M  $k$ , uma única decomposição  $P^k$  é realizada para construir  $\Pi_{i+1}$ , mas cada diferente ocorrência de  $k$  pode levar a um sub-canal diferente.

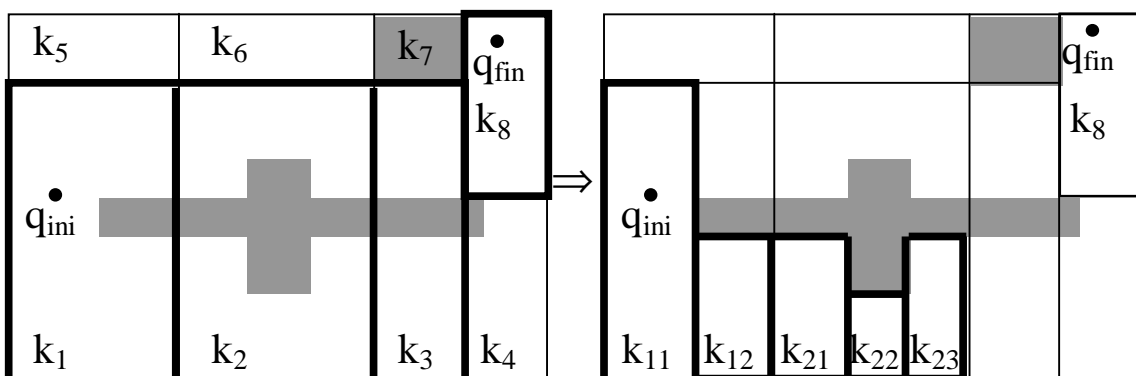
Falhas:

- planejador pode falhar na construção do canal  $\Pi_{i+1}$  ao tentar refinar a ocorrência-M  $w_i^j \subset \Pi_i$  em um sub-canal se:
  - $\Pi_i$  não contém um canal-V.
  - o canal parcial  $\Pi_{i+1}$  corrente gerado é um beco sem saída.

Exemplos:



- Dado o canal-M  $\Pi_1 = (k_1, k_2, k_3)$ , o sub-canal-V  $\Pi^{k1} = (k_{11}, k_{12})$  é obtido a partir da decomposição de  $k_1$ , mas não pode ser conectado a  $k_3$  através de  $k_2$  pois o C-obstáculo obstrui a passagem.



- Dado o canal-M  $\Pi_1 = (k_1, k_2, k_3, k_8)$ , o sub-canal-V  $\Pi^{k1} = (k_{11}, k_{12}, k_{21}, k_{22}, k_{23})$  obtido a partir da decomposição de  $k_1$  e  $k_2$ , mas não pode ser conectado a  $k_8$  através de  $k_3$  pois se chegou a um beco sem saída.

### Recuperação de condição de falha:

- O planejador não tem meios de determinar diretamente a causa de uma falha ao tentar refinar a ocorrência-M  $w_i^j$ . Três casos mutuamente exclusivos são considerados:
  - **Caso (1):  $j = 1$** 
    - $w_i^j = w_i^1$  (1ª ocorrência em  $\Pi_i$ ). Não há meios de conectar  $q_{ini}$  à 2ª ocorrência em  $\Pi_i$ .
    - Deve-se gerar um novo  $\Pi_i$ . Caso não seja possível e  $i > 1$ , tenta-se recursivamente gerar um novo canal  $\Pi_{i-1}$ . Caso nenhum novo canal possa ser gerado e  $i=1$ , reportar falha.
  - **Caso (2):  $j > 1$  e  $w_i^{j-1}$  VAZIA**
    - Não há meios de conectar qualquer configuração em  $w_i^{j-1}$  a uma configuração em  $w_i^{j+1}$  através de  $w_i^j$ .
    - Proceder como no caso (1).
  - **Caso (3):  $j > 1$  e  $w_i^{j-1}$  MESCLADA**
    - Não há meios de conectar qualquer configuração na última ocorrência do  $\Pi_{i+1}$  corrente (a qual é subconjunto de  $w_i^{j-1}$ ) a uma configuração em  $w_i^{j+1}$  através de  $w_i^j$ .
    - Tentar gerar outro sub-canal no GC de  $cel(w_i^{j-1})$ .
    - Caso um novo sub-canal for encontrado, substituir o sub-canal prévio no  $\Pi_{i+1}$  corrente e tentar refinar  $w_i^j$  em um sub-canal no GC de  $cel(w_i^j)$ .
    - Caso contrário, tratar iterativamente  $w_i^{j-1}$  como foi tratada  $w_i^j$ . Fazer  $j = j-1$  e aplicar os casos (1), (2) ou (3) de acordo com a situação.

### Gravação das condições de falha:

- Como o mesmo GC pode ser pesquisado muitas vezes na busca de canais e sub-canais, se as falhas forem anotadas, o algoritmo pode ser mais eficiente, pois erros não serão repetidos.
- Uma anotação é feita sempre que o planejador se recuperar de uma falha ao buscar um sub-canal numa ocorrência-M.
- Para evitar um grande custo adicional devido a anotações de células excessivas, restringi-las aos casos (1) e (2), quando não precedidas de uma iteração de caso (3).

#### - **Caso (1):**

Sejam:  $\xi = \text{cel}(w_i^1)$  e  $\psi = \text{cel}(w_i^2)$  as duas 1<sup>as</sup> células em  $\Pi_i$ . ( $\psi = \lambda =$  célula inexistente, se o número de ocorrências em  $\Pi_i$ ,  $n_i = 1$ ).

- A célula  $\xi$  é anotada com  $(\psi)$ .
- Se um novo  $\Pi_i$  for gerado e se o mesmo contiver uma ocorrência  $w_\xi$  de  $\xi$  na posição inicial, então uma ocorrência  $w_\psi$  de  $\psi$  não será considerada como sucessora válida de  $w_\xi$ .
- Observação: a anotação só é válida para as ocorrências  $w_\xi$  no início do novo  $\Pi_i$ .

#### - **Caso (1):**

- Sejam:  $\xi = \text{cel}(w_i^j)$ , ( $j > 1$ ),  $\varphi = \text{cel}(w_i^{j-1})$  e  $\psi = \text{cel}(w_i^{i+1})$  no  $\Pi_i$  corrente. (se  $j = n_i$ , então  $\psi = \lambda$ ).
- A célula  $\xi$  é anotada com  $(\varphi, \psi)$ .
- Se um novo  $\Pi_i$  é gerado e este contiver  $w_\xi$  precedida pela ocorrência  $w_\varphi$  de  $\varphi$ , então uma ocorrência  $w_\psi$  de  $\psi$  não será considerada como sucessora válida de  $w_\xi$ .
- Observação: quando  $\psi \neq \lambda$ , a anotação  $(\varphi, \psi)$  é comutativa, ou seja aplicável ao tentar conectar  $w_\varphi$  a  $w_\psi$  através de  $w_\xi$  em qualquer sentido. (o par  $(\varphi, \psi)$  deve ser invertido se o sentido for invertido).

### Busca no grafo de conectividade:

- Seja  $\Pi_0 = (w_0^1)$  o canal-M associado a  $\text{cel}(w_0^1) = \Omega$ .
- Considere o refinamento de uma ocorrência-M,  $w_i^j \in \Pi_i$ , de uma célula  $k = \text{cel}(w_i^j)$ .
- Se  $k$  já foi decomposta previamente, reutilizar o seu GC,  $G^k$ .
- Caso contrário, decompor  $k$  em  $P^k$ , construir  $G^k$  e buscar nele um sub-canal a ser anexado ao  $\Pi_{i+1}$  corrente.
- A busca em  $G^k$  requer que se determinem as possíveis células inicial e final:
  - Se  $j = 1$ ,  $w_i^j$  é a 1ª célula de  $\Pi_i$ . A única célula inicial possível é aquela que contém  $q_{\text{ini}}$ .
  - Caso contrário, as possíveis células iniciais de  $G^k$  são todas as células de  $P^k$  adjacentes à célula  $\varphi$  da última ocorrência  $w_\varphi$  no canal  $\Pi_{i+1}$  corrente tais que sua inserção em  $\Pi_{i+1}$  como sucessora de  $w_\varphi$  não viole qualquer anotação.
  - Se  $j = n_i$ ,  $w_i^j$  é a última ocorrência de  $\Pi_i$ . A única célula final possível em  $G^k$  de  $P^k$  é aquela que contém  $q_{\text{fin}}$ .
  - Caso contrário, as células finais possíveis são todas as células de  $P^k$  que são adjacentes a  $\text{cel}(w_i^{j+1})$ .
- Se não houver possíveis células iniciais e finais em  $G^k$ , considerar como condição de falha no refinamento de  $w_i^j$  e aplicar os procedimentos de recuperação de falhas.
- Se ao menos uma célula inicial e uma célula final são determinadas em  $G^k$ , buscar um sub-canal em  $w_i^j$  conectando qualquer das possíveis células iniciais a qualquer das possíveis células finais, de modo tal que nenhuma anotação seja violada.
- Deve-se permitir que o sub-canal a ser gerado em  $G^k$  possa conter repetições de ocorrências de células-M em  $P^k$ .
- Para limitar o infinito  $N^0$  de potenciais sub-canais, pode-se limitar o  $N^0$  de ocorrências permitidas para uma mesma célula.